

# **DISOMIA UNIPARENTALE:** *Patogenesi e diagnosi di laboratorio*

**Francesca Romana GRATI, Ph.D.**

TOMA, Advanced Biomedical Assays, S.p.A.

**Controversie e nuove tecnologie nella diagnosi prenatale del primo trimestre: dal laboratorio alle procedure strumentali**

Bologna, 5 Aprile 2008



## INFORMAZIONE DEL DNA

### Informazione genetica

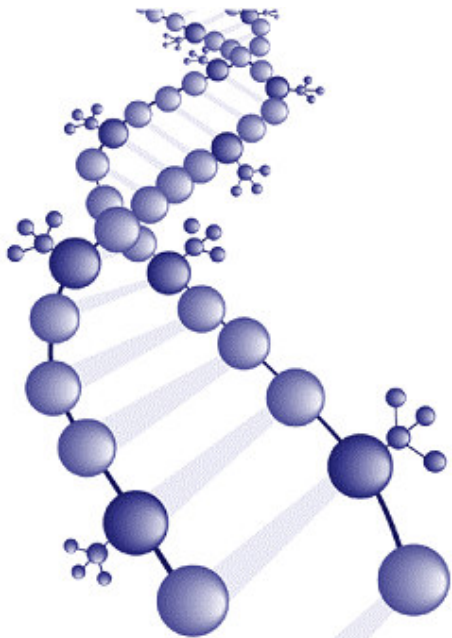
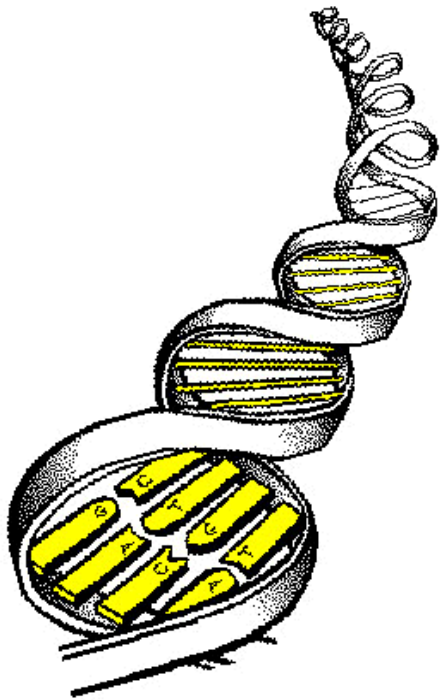
Istruzioni per la sintesi di proteine e RNA.

E' "STABILE"

### Informazione epigenetica

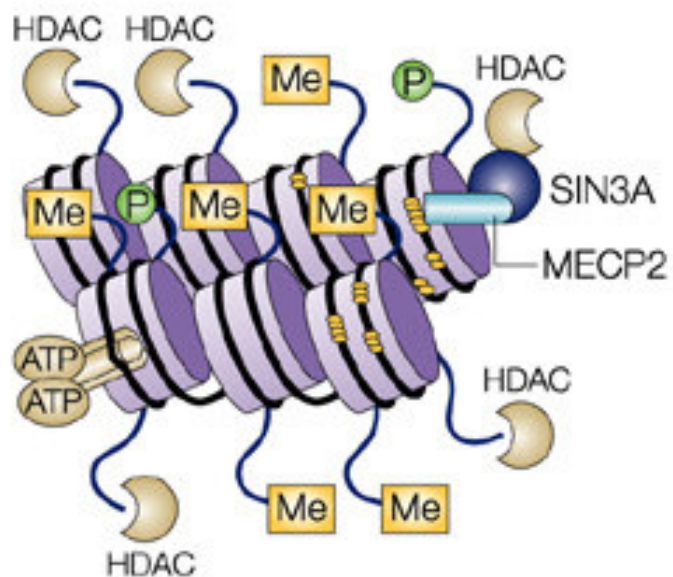
Istruzioni su come, quando e dove deve essere usata l'informazione genetica.

E' "DINAMICA"

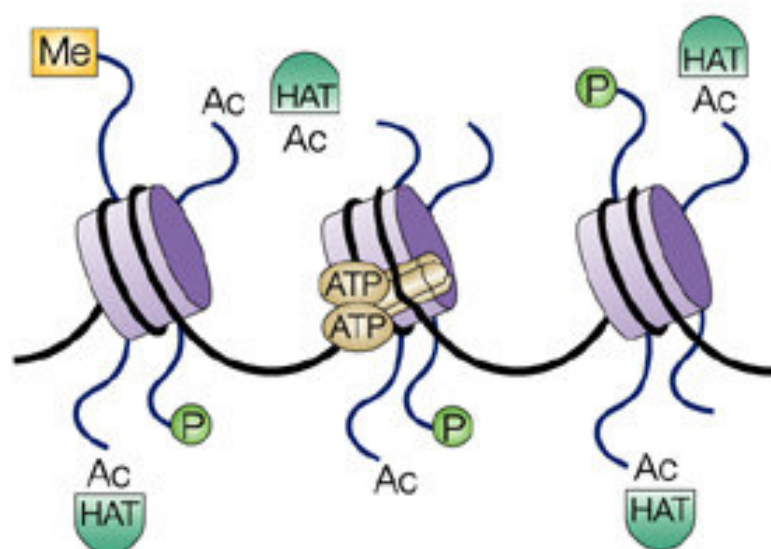


# IMPRINTING

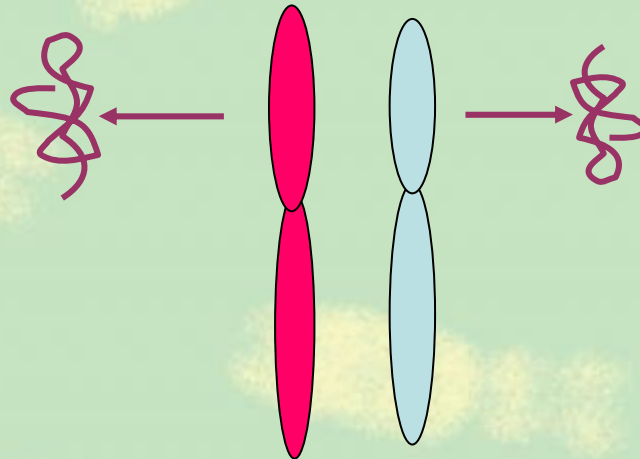
**a** Closed chromatin: transcriptional repression



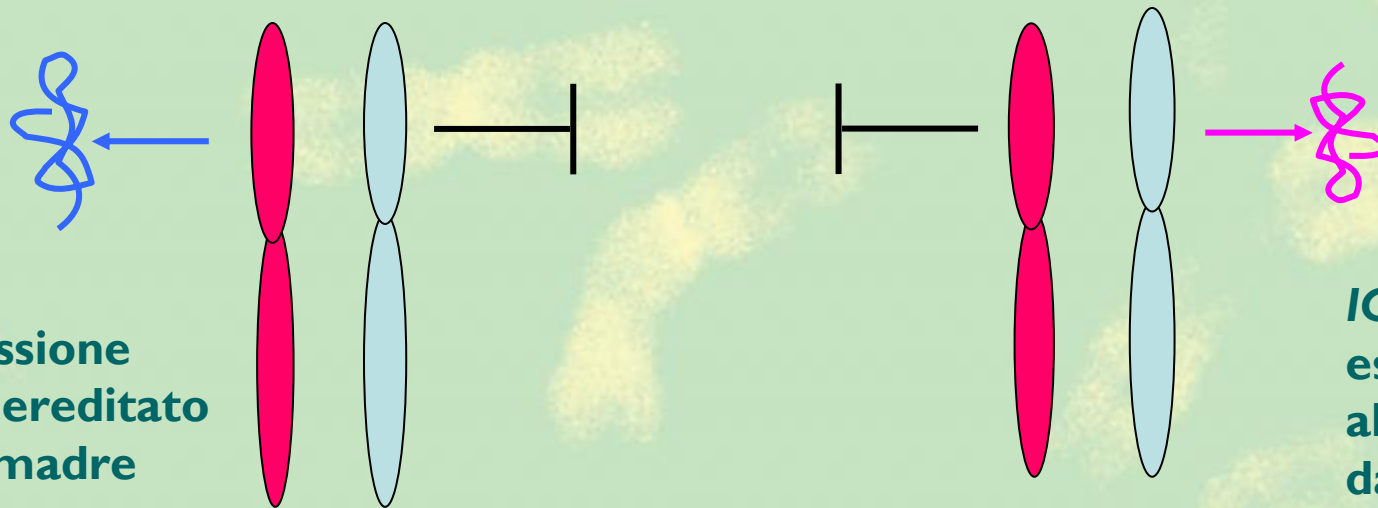
**b** Open chromatin: transcriptional activation



## Gene non "imprinted" (98%): espressione biallelica



## Gene "imprinted" (2%): espressione monoallelica



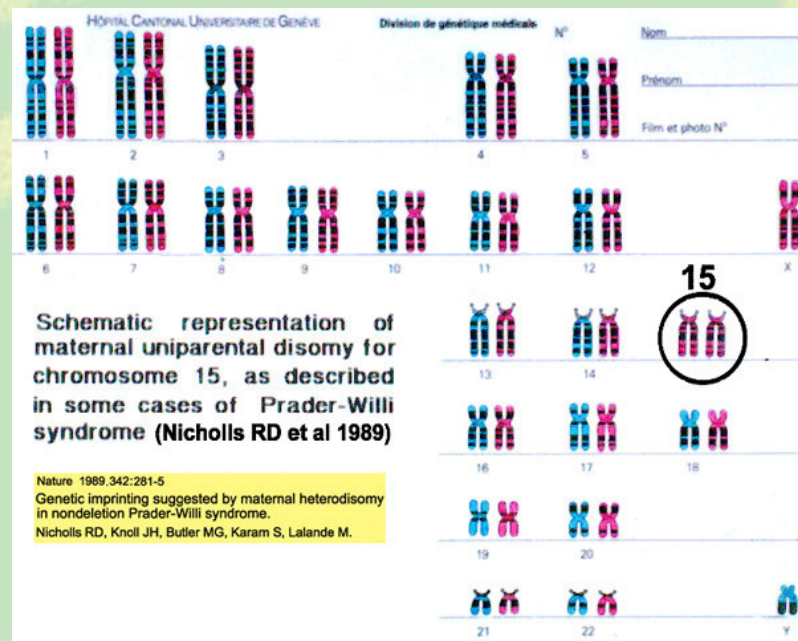
**H19:**  
espressione  
allele ereditato  
dalla madre

**IGF2:**  
espressione  
allele ereditato  
dal padre

# Uniparental Disomy (UPD)

“A new genetic concept: the uniparental disomy and its potential effect, the isodisomy.” ENGEL E., Am J Med Genet, 1980

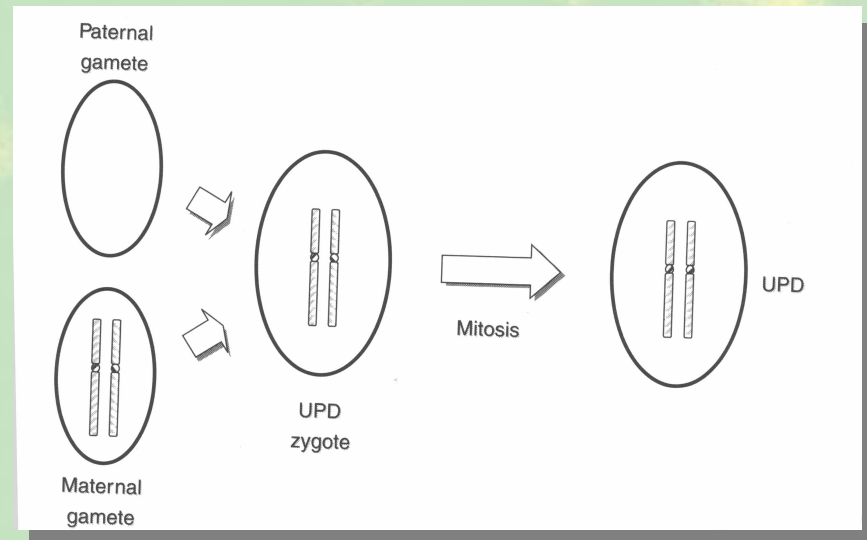
**Condizione in cui il numero cromosomico e' normale, ma una coppia di cromosomi omologhi e' ereditata da un solo genitore**



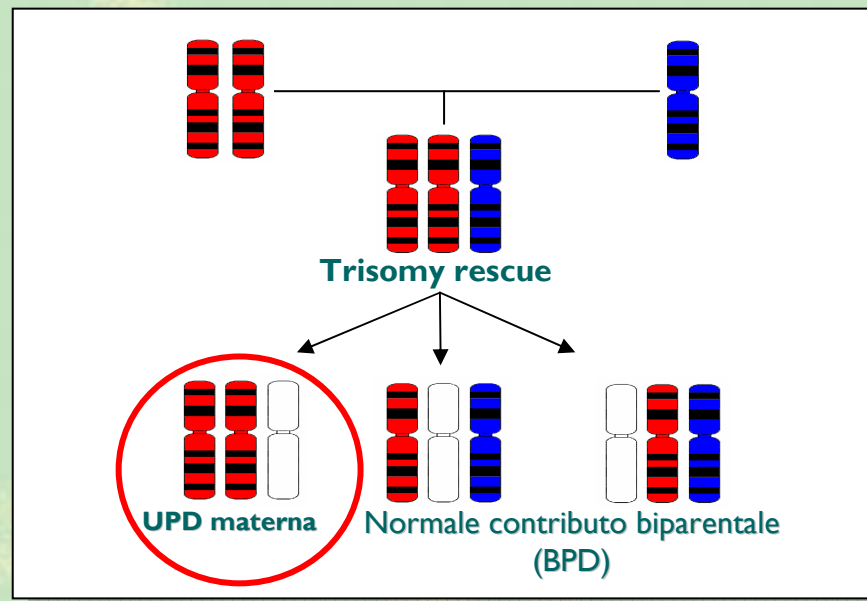
**CALCULS DES FREQUENCES POTENTIELLES DE LA DISOMIE UNIPARENTALE**

TYPE DE LA DISOMIE (CHROMOSOMES IMPLIQUES)	POUR 20 % D'AVORTEMENTS FREQUENCES / 10.000	POUR 50 % D'AVORTEMENTS FREQUENCES / 10.000
46, (16)	$(0,8 \%)^2 - 0,60$	$(2 \%)^2 - 4,00$
46, (21)	$(0,3 \%)^2 - 0,09$	$(0,75 \%)^2 - 0,56$
46, (15)	$(0,25 \%)^2 - 0,06$	$(0,60 \%)^2 - 0,36$
46, (22)	$(0,25 \%)^2 - 0,06$	$(0,60 \%)^2 - 0,36$
46, (XX OU XY)	$(1,3 \%)^2 - 1,70$	$(3,2 \%)^2 - 10,20$
<b>TOTAL</b>	<b>2,51</b>	<b>15,48</b>

**GAMETIC COMPLEMENTATION**  
(fusione di un gamete nullisomico e uno disomico)



# UPD and Trisomy rescue



# CONFINED PLACENTAL MOSAICISM

G. Simoni and SM Sirchia

*Prenatal Diagnosis*, 14:1185-1189 (1994)

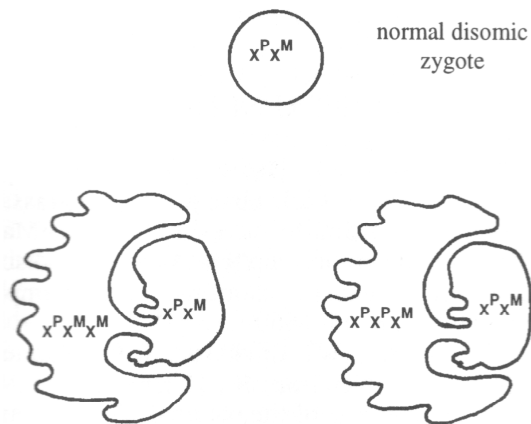


Fig. 1—Possible mechanism by which a confined placental mosaicism could originate from a normal zygote. Chromosomal anaphase lag occurs at a late gestational stage, after fetal and placental compartments have separated. We can assume a different imprinting effect according to the maternal or paternal origin of the supernumerary chromosome. M=Maternal; P=Paternal

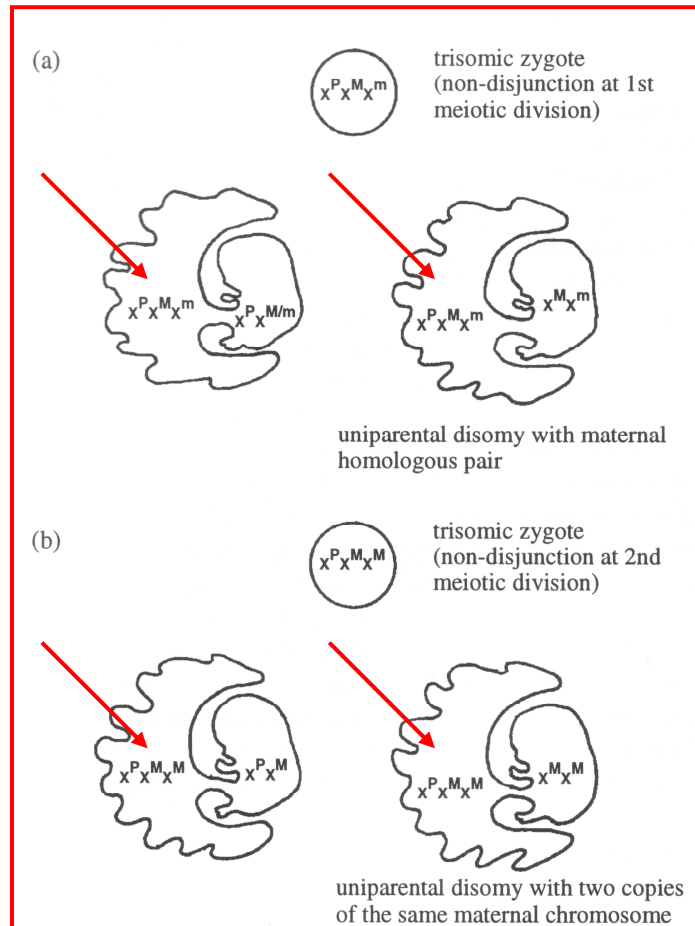


Fig. 2—Possible mechanism by which confined placental mosaicism could originate from a trisomic zygote. Fetal karyotype could be 'normalized' by a chromosome loss. We can assume different events would lead to uniparental heterodisomy (a); or isodisomy (b)



ARTICLE

# Confirmation of mosaicism and uniparental disomy in amniocytes, after detection of mosaic chromosome abnormalities in chorionic villi

Francesca R Grati<sup>\*1</sup>, Beatrice Grimi<sup>1</sup>, Giuditia Frascoli<sup>1</sup>, Anna Maria Di Meco<sup>1</sup>, Rosaria Liuti<sup>1</sup>, Silvia Milani<sup>1</sup>, Anna Trotta<sup>1</sup>, Francesca Dulcetti<sup>1</sup>, Enrico Grosso<sup>2</sup>, Monica Miozzo<sup>3</sup>, Federico Maggi<sup>1</sup> and Giuseppe Simoni<sup>1,3</sup>

<sup>1</sup>Units of Cytogenetics and Molecular Biology, TOMA Laboratory, Busto Arsizio, Varese, Italy; <sup>2</sup>SCDU Genetica Medica, Azienda Ospedaliera San Giovanni Battista, Turin, Italy; <sup>3</sup>Cattedra di Genetica Medica, Dipartimento di Medicina, Chirurgia e Odontoiatria, University of Milan, Milan, Italy

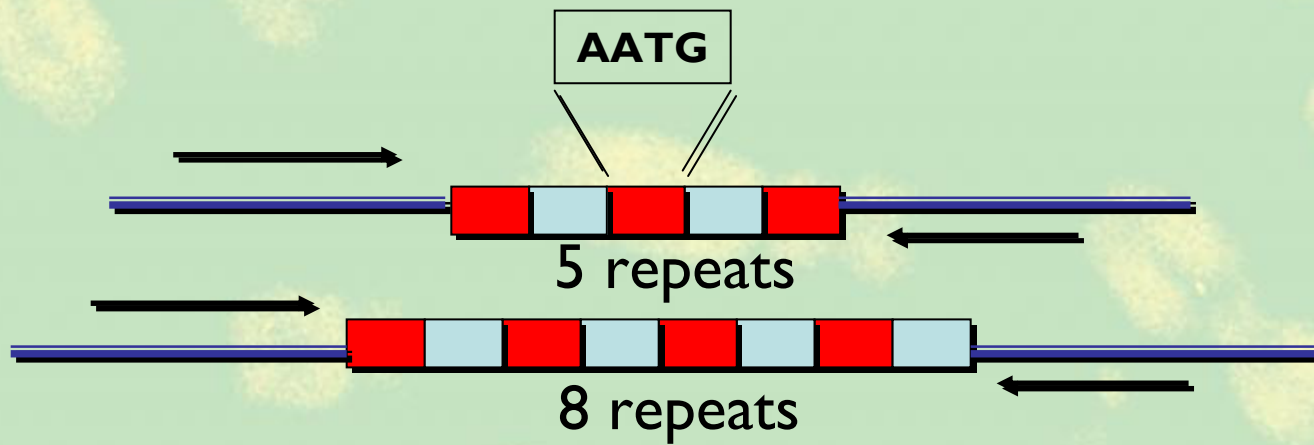


**UPD: 1 case out of 51 (1.96%)**

Table 3 Distribution of specific chromosomal alterations in the different types of mosaicisms (CPM and TFM)

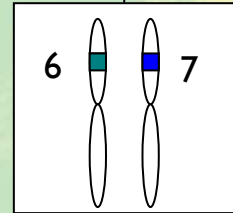
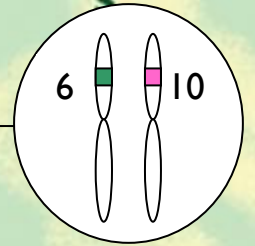
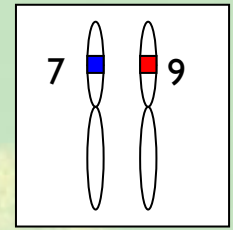
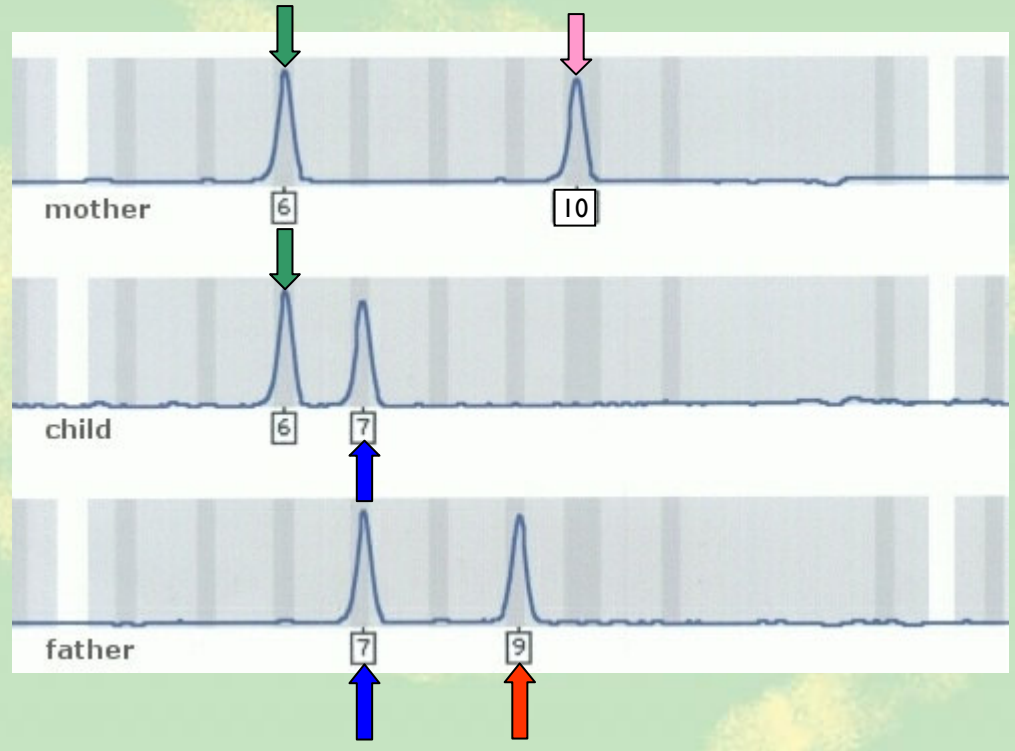
Chr abnormality	CPM number of cases				TFM number of cases		Total (203)
	Type I	Type II	Type III	Type IV	Type V	Type VI	
+1		1					1
+2	1	8+2 <sup>^</sup>					11
+3	6		1				7
+4	1						1
+6		1	1 <sup>C</sup>				2
+7	5+1 <sup>^</sup>	9+1 <sup>^</sup>	1				17
+8	1+2 <sup>^</sup>	1	1				5
+9	2	3					5
+10	1	2					3
+11	2						2
+12	1						1
+13	3	3	1+2 <sup>C</sup>				9
+14	1-1 <sup>*</sup>						2
+15	2+1 <sup>^</sup>	1	1 <sup>C</sup>				5
+16	1+1 <sup>^</sup>	1					3
+17		1					1
+18	4	3			(3 <sup>^</sup> )	(1 <sup>M</sup> )	11
+20	1	2	2 <sup>C</sup>				5
+21	1	6+1 <sup>^</sup>			1+(2 <sup>^</sup> )	(1 <sup>C</sup> )	12
+22			1 <sup>CM</sup>				1
-22		1					1
+X	3 XY+1 XX+1 <sup>^</sup> XX	1 XY			1 XY	1 XX+(1 <sup>M</sup> XY)	9
+Y						1 XY	1
-X	6+2 <sup>^</sup>	2			2+1 <sup>^</sup>	1	14
-Y	2	3	1		1 <sup>^</sup>	1+(1 <sup>M</sup> )	9
X/XX/XXX						2+1 <sup>M</sup>	3
47,+mar	4+1 <sup>^</sup>	2+1 <sup>^</sup>		1 <sup>^</sup> +1		1	11
46, rearr	7+5 <sup>^</sup>	14+4 <sup>^</sup>			(1 <sup>^</sup> )		31
Tetraploidy	4+4 <sup>^</sup>	2+2 <sup>^</sup>	2 <sup>C</sup>				14
Multiple trisomy	2	4					6

\* = UPD case.  
 ( ) = nonmosaic abnormal cell line in the fetus.  
 ^ = nonmosaic abnormal cell line in placenta (in cytotrophoblast (<sup>C</sup>) or in mesenchyme (<sup>M</sup>)).  
 XY/XX = normal karyotype associated with the +X/+Y cell line.

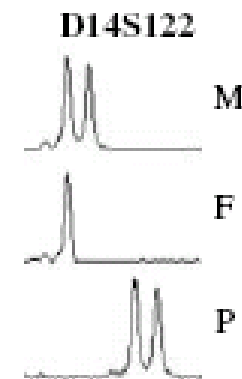


**Heterozygote = alleles differ and can be resolved from one another**

**Homozygote = both alleles are the same length**



STR	Map Localization	M	F	P	Result
D14S122*	q11.2	1,2	1,1	3,4	ISOUPD
D14S283*	q11.2	2,3	2,2	1,1	ISOUPD
D14S990*	q11.2	2,3	3,3	1,2	ISOUPD
D14S52	q21	1,1	1,1	2,3	UPD
D14S58	q21	1,1	1,1	2,2	UPD
D14S258	q23-q23.3	1,1	1,1	2,2	UPD
D14S77	q23-q24	2,3	2,3	1,3	NI
D14S43	q24.3	2,3	2,3	1,3	NI
D14S68	q24.3	2,4	2,4	1,3	HETEROUPD
D14S59*	q24.3	1,1	1,1	2,3	UPD
D14S983	q24.3	1,1	1,1	1,1	NI
D14S53	q24.3	1,1	1,1	1,2	NI
D14S42	q24.3	1,2	1,2	1,2	NI
D14S81	q31-q32	1,1	1,1	1,2	NI
D14S51	q32.2-q32.3	1,2	1,2	2,2	NI



**Figure 1** Molecular results of matUPD14 case. For each informative marker, maternal (M), fetal (F) and paternal (P) alleles are indicated. The fetus inherited alleles only from the mother and failed to inherit a paternal allele, consistent with a maternal disomy 14. \* Indicate STRs analysed by fluorescent capillary system.

# UPD and Robertsonian translocations

PRENATAL DIAGNOSIS

*Prenat Diagn* 2004; 24: 997–1000.

Published online in Wiley InterScience (www.interscience.wiley.com). DOI: 10.1002/pd.961

## **Prenatal search for UPD 14 and UPD 15 in 83 cases of familial and *de novo* heterologous Robertsonian translocations**

**Anna Ruggeri<sup>1\*</sup>, Francesca Dulcetti<sup>1</sup>, Monica Miozzo<sup>2</sup>, Francesca R. Grati<sup>2</sup>, Beatrice Grimi<sup>1</sup>, Silvano Bellato<sup>3</sup>, Federica Natacci<sup>4</sup>, Federico Maggi<sup>1</sup> and Giuseppe Simoni<sup>1,2</sup>**

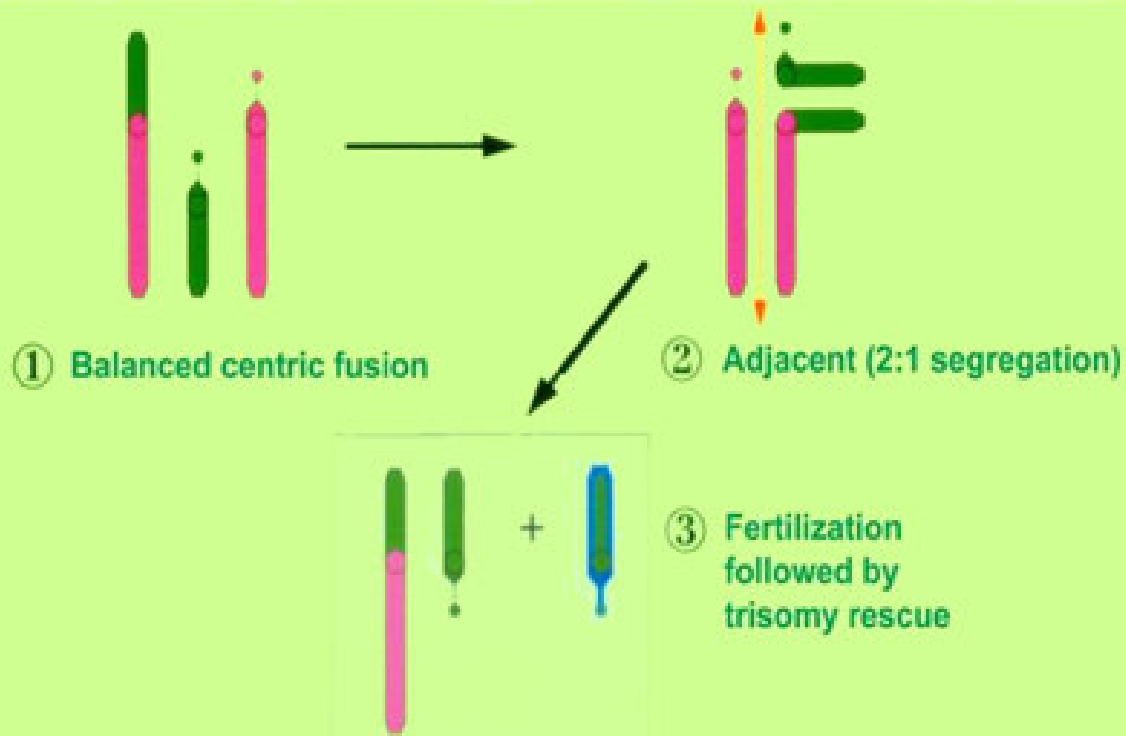
<sup>1</sup>*Units of Cytogenetics and Molecular Biology, TOMA Laboratory, Busto Arsizio, Varese, Italy*

<sup>2</sup>*Laboratory of Medical Genetics, Department of Medicine, Surgery and Dentistry, San Paolo School of Medicine, University of Milan, Milan, Italy*

<sup>3</sup>*Division of Pediatrics, L. Cazzavillan Hospital, Arzignano, Vicenza, Italy*

<sup>4</sup>*Servizio di Genetica Medica, Istituti Clinici di Perfezionamento, Milano, Italy*

## UPD favored by balanced Robertsonian translocation 2:1 segregation followed by trisomy rescue



STR	M	F	P	Mix	
D14S49	1,2	2,2	1,2		D14S77
D14S77	1,2	1,2	3,3		
D14S43	2,3	2,3	1,1		
D14S68	2,2	2,2	1,1		D14S68
D14S51	1,4	1,4	2,3		

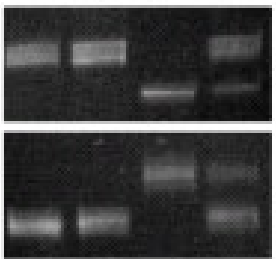


Figure 1 —Molecular results of matUPD14 case. For each informative marker, maternal (M), fetal (F) and paternal (P) alleles are indicated (Mix: sample containing M and P alleles). The fetus inherited alleles only from the mother and failed to inherit a paternal allele, consistent with a maternal UPD 14

ROBs	n° cases
13;14	**224
13;15	14
14;15	24
14;21	*42
14;22	13
15;21	3
15;22	5
<b>Subtotal</b>	<b>425 (0.7%)</b>
NotDefined	181
<b>TOT</b>	<b>506 (0.6%)</b>

Papenhausen et al, 1996

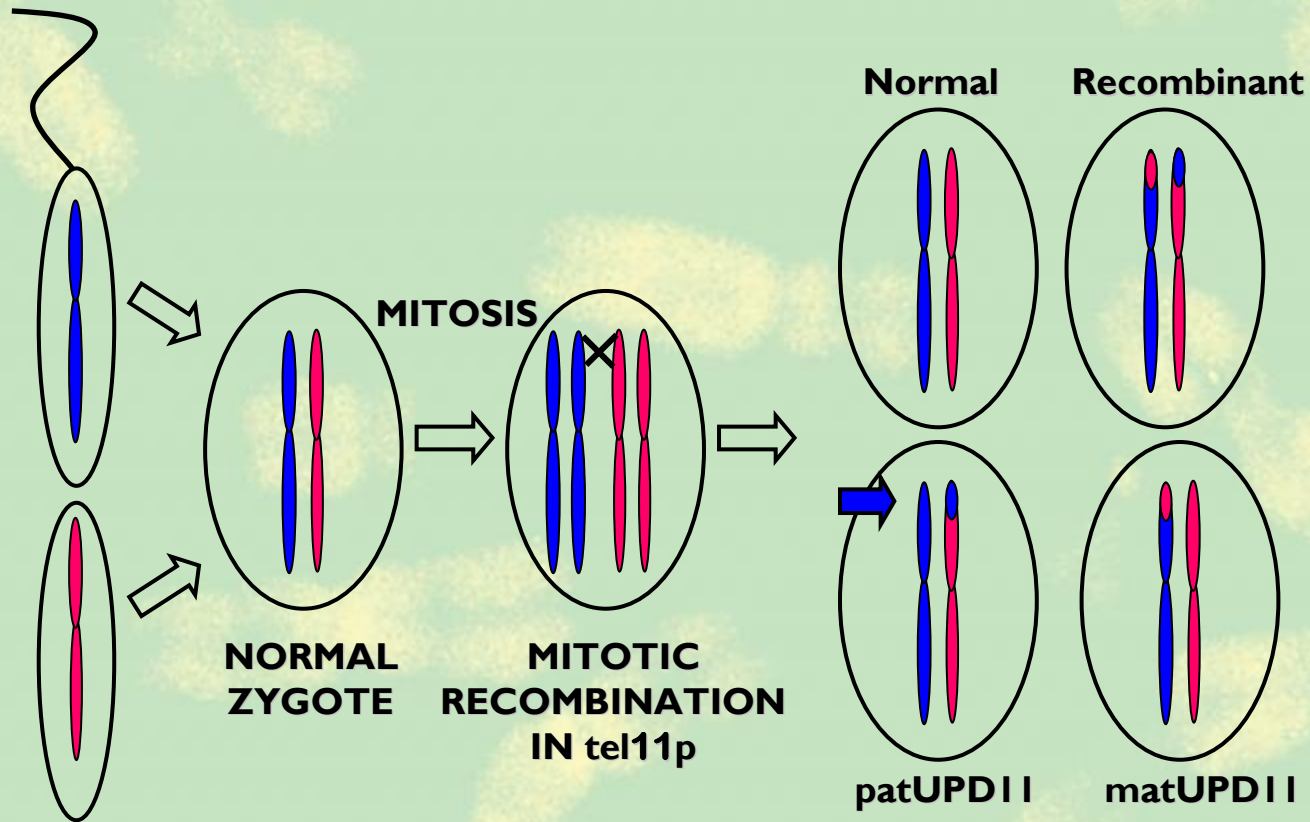
Silverstein et al, 2002

Ruggeri et al, 2004

\*=UPD14 *de novo*

# patUPD11 and mitotic crossing-over

**TOMA**  
E  
ADVANCED  
ICAL  
**SSAYS**



**A MOSAICO!**



# CORRELAZIONE GENOTIPO - FENOTIPO



## ONFALOCELE:

- **MUTAZIONI INATTIVANTI/IPERMETILAZIONE DI CDKN1C**
- **MAI DESCRITTO IN ASSOCIAZIONE CON patUPD11**

*J Med Genet* 2000;37:921-926

### Epigenotype-phenotype correlations in Beckwith-Wiedemann syndrome

Jacqueline R Engel, Alan Smallwood, Antonita Harper, Michael J Higgins, Mitsuo Oshimura, Wolf Reik, Paul N Schofield, Eamonn R Maher

*Am. J. Hum. Genet.* 70:604-611, 2002

### Epigenetic Alterations of *H19* and *LIT1* Distinguish Patients with Beckwith-Wiedemann Syndrome with Cancer and Birth Defects

Michael R. DeBaun,<sup>1,2</sup> Emily L. Niemitz,<sup>3,4</sup> D. Elizabeth McNeil,<sup>2</sup> Sheri A. Brandenburg,<sup>3</sup> Maxwell P. Lee,<sup>3</sup> and Andrew P. Feinberg<sup>3,5</sup>

<sup>1</sup>Division of Pediatric Hematology-Oncology, Department of Pediatrics, Washington University School of Medicine, Saint Louis; <sup>2</sup>Genetic Epidemiology Branch, National Cancer Institute, National Institutes of Health, Bethesda, MD; and <sup>3</sup>Institute of Genetic Medicine, <sup>4</sup>Predoctoral Program in Human Genetics, and <sup>5</sup>Departments of Medicine, Oncology, and Molecular Biology and Genetics, Johns Hopkins University School of Medicine, Baltimore

**ORIGINAL ARTICLE**

Chromosome 11 segmental paternal isodisomy in amniocytes from two fetuses with omphalocele: new highlights on phenotype–genotype correlations in Beckwith–Wiedemann syndrome

F R Grati, L Tuolla, P D'Ajello, A Ruggeri, M Miozzo, G Bracalente, D Baldo, L Laurino, R Boldorini, E Frate, N Surico, L Larizza, F Maggi, G Simoni

.....  
*J Med Genet* 2007;**44**:257–263. doi: 10.1136/jmg.2006.046854

# RICERCA DELLA LINEA CELLULARE CON CONTRIBUTO BIPARENTALE NEI TESSUTI FETALI

M: MADRE

AF: AMNIOCITI

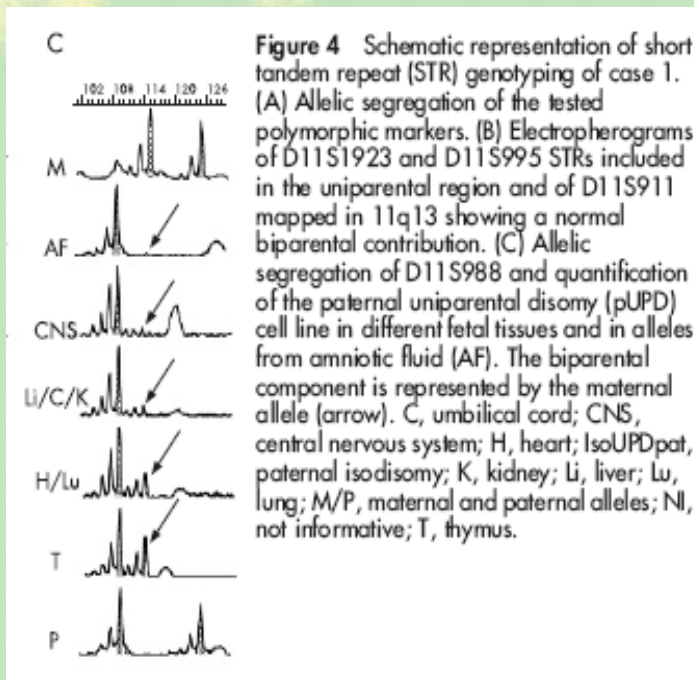
CNS: SISTEMA NERVOSO CENTRALE

Li/C/K: FEGATO, CORDONE OMBELICALE, RENE

H/Lu: CUORE, POLMONE

T: TIMO

P: PADRE



M: MADRE

AF: AMNIOCITI

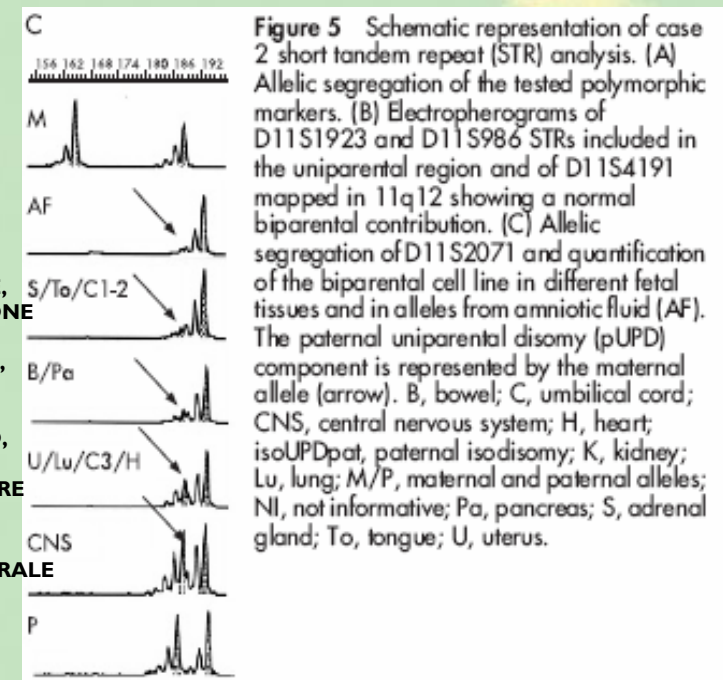
S/To/C: SURRENE, LINGUA, CORDONE

B/Pa: INTESTINO, PANCREAS

U/Lu/C/H: UTERO, POLMONE, CORDONE, CUORE

CNS: SISTEMA NERVOSO CENTRALE

P: PADRE



## CONCLUSIONS:

1. the distribution of pUPD cell line is super imposable to that of the organs mainly involved in the omphalocele; the presence at high level of the paternal isodisomic cell line in the abdominal organs could have mimicked the effect of CDKN1C/p57 inactivating mutations or hypermethylation causing the omphalocele.
2. amniotic fluid cell cultures is the preferential prenatal sample for BWSUPD11 testing: during the AF culture the pUPD11 cell line might have a proliferative advantage due to the autocrine effect of IGF2 getting the upper hand over the normal biparental cell line, leading to the unmasking of the UPD cell line.

<b>UPD TYPE</b>	<b>SYNDROME</b>	<b>PHENOTYPE</b>
<i>Certain</i>		
Pat 6	Transient Neonatal Diabetes Mellitus (TNDM)(MIM:601410)	IUGR, diabete neonatale
Mat 7/Mat 11	Silver Russell Syndrome (SRS) (MIM:180860)	IUGR/PNGR, dismorfismi
Pat 11	Beckwith-Wiedemann Syndrome (BWS) (MIM:130650)	Overgrowth, dismorfismi, tumori
Mat 14		IUGR, dismorfismi
Pat 14		Nanismo, dismorfismi
Mat 15	Prader Willi Syndrome (PWS) (MIM:176270)	Obesità, dimorfismi,
Mat/Pat 20	Pre- and postnatal growth retardation, dysmorphisms	IUGR/PNGR
<i>Probable</i>		
Mat 2	Growth failure, bronchopulmonary dysplasia	IUGR e displasia broncopolmonare
Mat 16	Growth failure, abnormalities	IUGR e dismorfismi

# TOMA LAB

**Prof. Giuseppe Simoni**  
**dott. Federico Maggi**

## CYTOGENETICS

dott.ssa Beatrice Grimi  
dott.ssa Giuditta Frascoli  
dott.ssa Anna Maria Di Meco  
dott.ssa Rosaria Liuti  
dott.ssa Silvia Milani  
dott.ssa Anna Trotta



## **R&D + BIOLOGIA MOLECOLARE**



Simona De Toffol

Francesca Dulcetti  
Barbara Malvestiti

Anna Ruggeri

## Chromosome 1

ARH1/NOEY2

p73

## Chromosome 5

U2AF1RS1

## Chromosome 6

AIR

HYMA1

M6P/IGF2R

SLC22A2

SLC22A3

ZAC/PLAGL1

## Chromosome 7

ASB4

COPG2

GRB10

MIT1/LB9

PEG1-AS

PEG1/MEST

PEG10

SGCE

## Chromosome 11

> ASCL2/HASH2

> AWT1

BWRT/KCNQ1DN

> CD81

> H19

> IGF2

> IGF2-AS

> INS

> INS2

> KCNQ1

> KCNQ1QT1

> MSUIT1

> NAPIL4

> OBPH1

> SDHD

> SLC22A1L/ITM

> TRPM5

> TSSC3/IPL

> TSSC4

> WT1

> ZNF215

> p57kip2/CDKN1C

## Chromosome 12

ATA3

DCN

## Chromosome 13

HTR2A

## Chromosome 14

DIO3

DLK1/PREF-1

MEG3/GTL2

MEG8/snoRNAs

PEG11

## Chromosome 18

ELONGIN A3

IMPACT

## Chromosome 19

PEG3/ZIM2

USP29

ZIM1

ZIM3

ZNF264

## Chromosome 20

GNAS1

GNAS1-AS

L3MBTL

NNAT

## Chromosome 15

ATP10C

GABRB3

HBII-19

HBII-52

IPW

MAGEL2

MKRN3

NDN

PAR-SN

PAR1

PAR5

PEG12

PWCR1

RASGRF1

SNRPN

UBE3A

UBE3A-AS

ZNF127-AS

## Chromosome X

XIST



**TOMA**  
ADVANCED  
GENETIC  
ASSAYS

**Am. J. hum. Genet. 42: 215-216, 1988**

**Editorial : Uniparental Disomy: A Rare Consequence of the High Rate of Aneuploidy in Human Gametes**

**Dorothy Warburton**

Department of Genetics and development of Pediatrics, Columbia University. New York

**Am. J. hum. Genet. 42: 217-225, 1988**

**Uniparental Disomy as Mechanism for Human Genetic Disease**

**J. Edward Spence, Ronald G. Perciccante, Guillian M. Greig. Huntington F.**

**Willard. David H. Ledbetter. J. Fielding Hejtmancik, Marilyn S. Pollack, William E. O'Brien and Arthur L. Baudet**

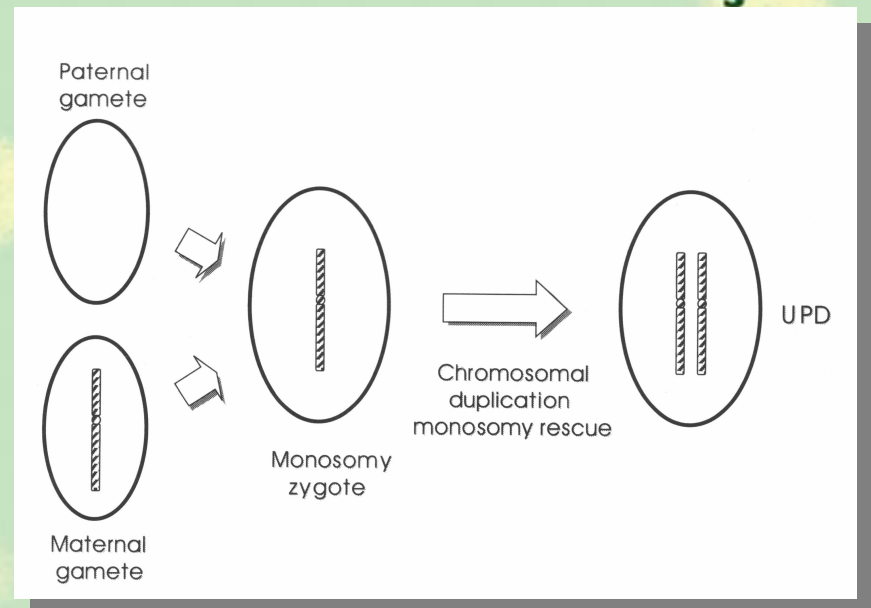
Howard Hughes Medical Institute, Institute of Molecular Genetics and Department of Microbiology and Immunology, Baylor College of Medicine, Houston: Mercy Hospital, Watertown, NY: and Department of Medical Genetics, University of Toronto, Toronto

The first thoroughly analyzed and described case of UPD. It was one involving maternal chromosome 7, responsible for cystic fibrosis in an unusually short girl who carried Gly542Ter mutation in her CFTR gene.

This article, of Beaudet's lab, with Ledbetter among the Authors and Spence as the Senior Author, was not only featuring the first case ever sighted of non-traditional recessive inheritance through reduction to homozygosity of the recessive mutant only carried by one of the two parents. It also offered a most comprehensive review of the possible mechanisms leading to the occurrence of UDP.

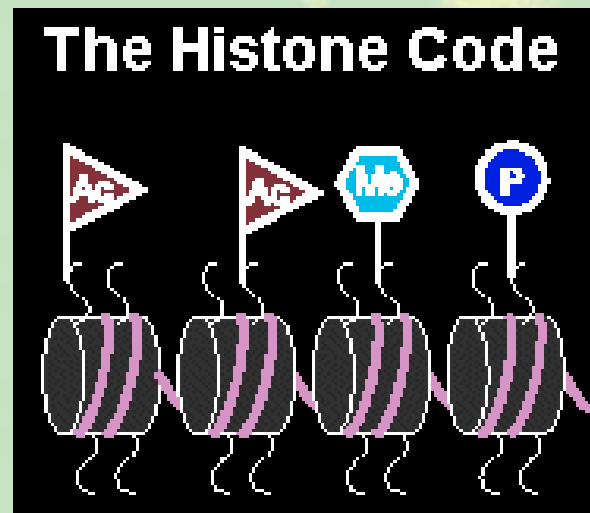
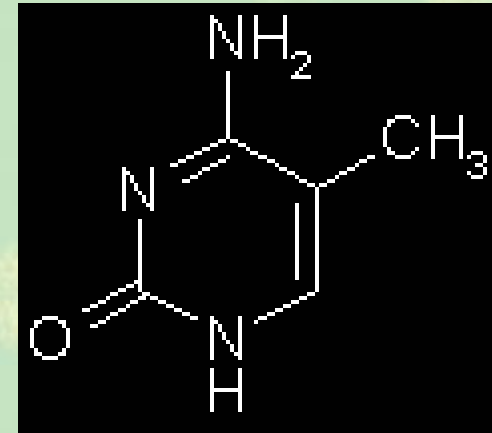


**MONOSOMY RESCUE (fusione di un gamete nullisomico e uno normale monosomico seguita da duplicazione del cromosoma monosomico)**



# MODIFICAZIONI CHIMICHE DELLA CROMATINA

- Metilazione della citosina
- Metilazione, acetilazione, fosforilazione proteine istoniche



# UPD and supernumerary marker chromosomes

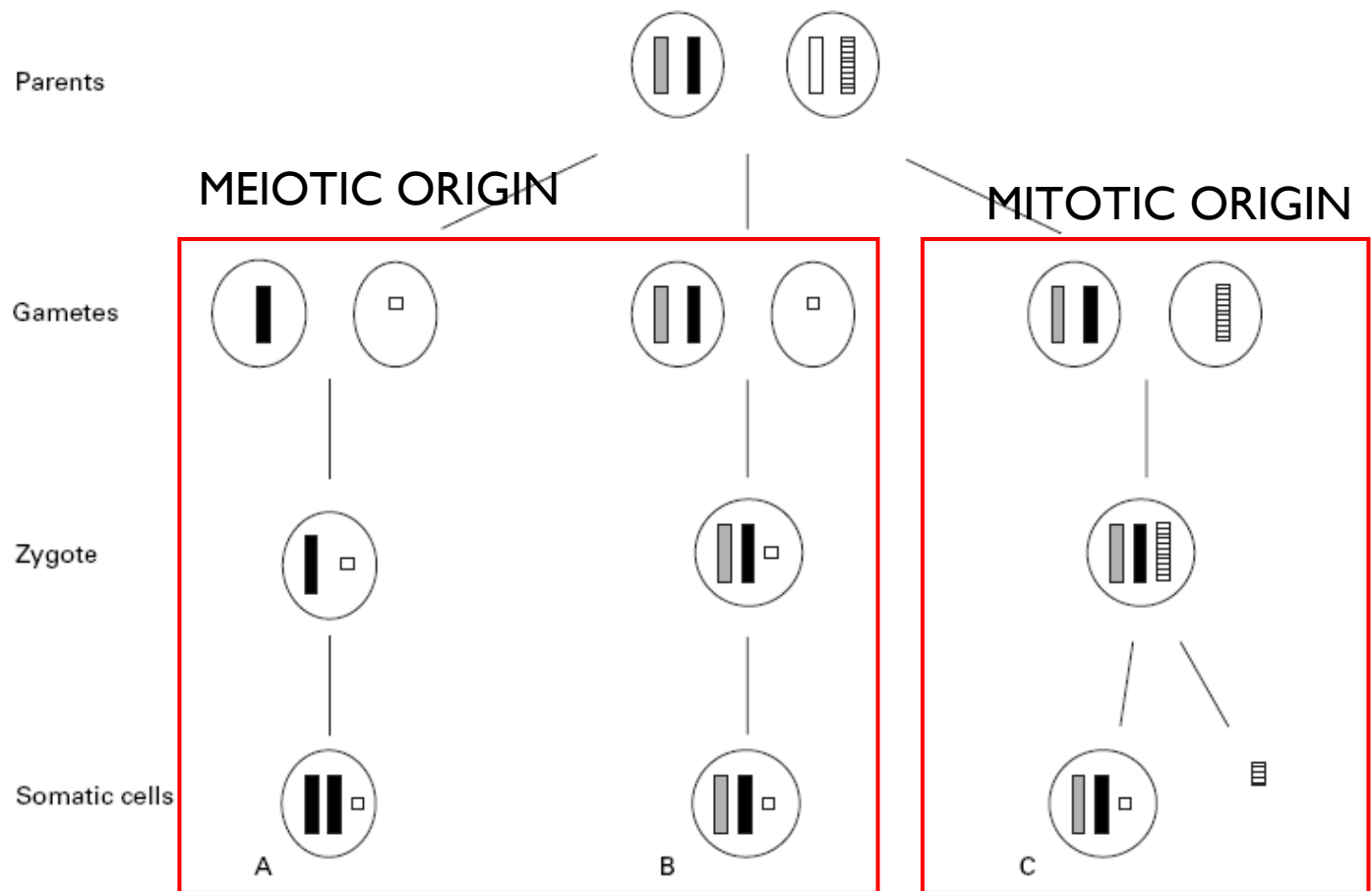
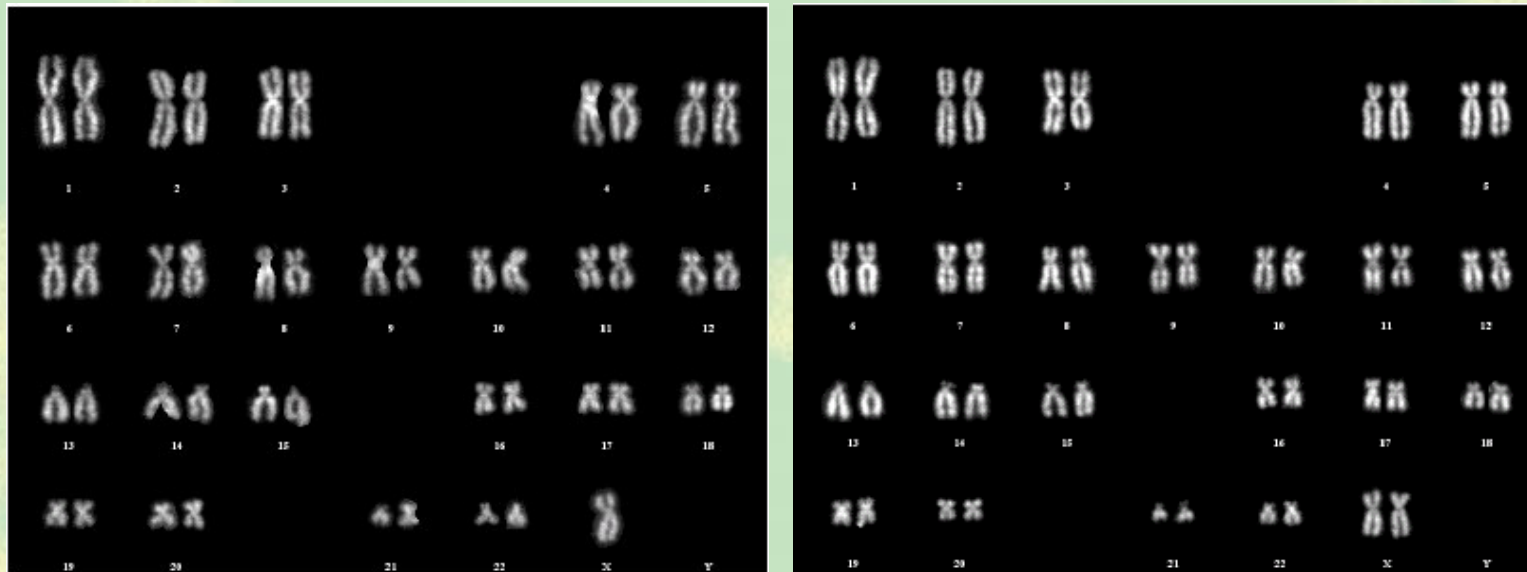


Figure 5 Formation of UPD associated with an additional marker chromosome. (A) The marker chromosome was formed in meiosis and a gamete with the marker chromosome but no normal homologue was fertilised by a normal gamete. (B) A disomic gamete is fertilised by a gamete with a marker chromosome formed in meiosis. (C) A disomic gamete is fertilised by a normal gamete and subsequent mitotic formation of the marker chromosome. In (B) and (C) not only heterodisomy as shown but also isodisomy is possible.

## IUGR, diagnosi prenatale (età materna avanzata): 46,XX/45,X



**RISULTATO** Cariotipo fetale: mos45,X/46,XX

### OSSERVAZIONI

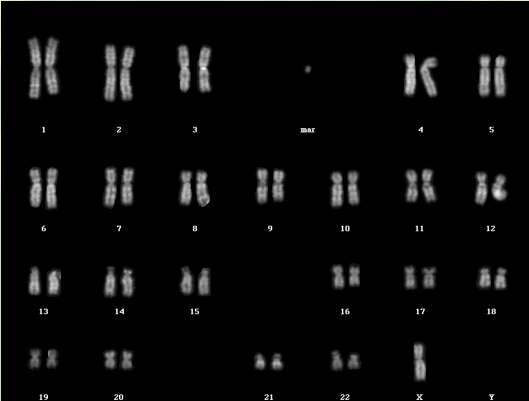
L'analisi è stata eseguita su 34 piastre metafasiche derivate da 18 colonie di 3 colture. E' presente una condizione di mosaicismo con due linee cellulari: una con monosomia X (8 metafasi da 4 colonie di 3 colture) e l'altra con corredo cromosomico 46,XX (26 metafasi da 14 colonie di 3 colture). Si consiglia il colloquio con il genetista.

PNGR severo, fronte ampia e bombata (sospetta SRS)

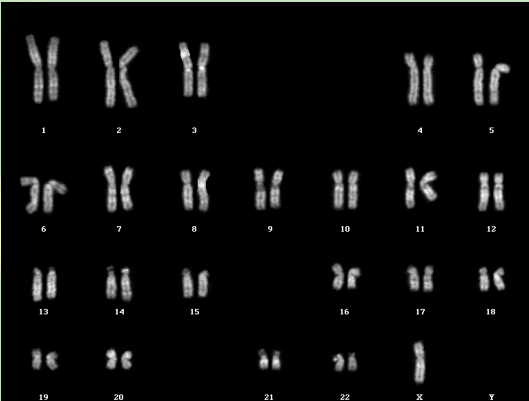
**RISULTATO** Cariotipo: mos46,X,+mar[25]/45,X[7]/46,XX[68]

**OSSERVAZIONI**  
 L'analisi é stata eseguita su 100 metafasi con risoluzione di 450 bande per set aploide. E' presente una condizione di mosaicismismo con tre linee cellulari: una a 46 cromosomi con monosomia X e con presenza di un piccolo marcatore puntiforme (25%), una a 45 cromosomi con monosomia X (7%) e una con corredo cromosomico 46,XX (68%). L'applicazione della tecnica FISH (vedi referto allegato) ha mostrato segnale positivo del marcatore all'ibridazione con sonda centromerica specifica per il cromosoma 7. L'analisi molecolare (vedi referto allegato) ha permesso di identificare la presenza della disomia uniparentale materna del cromosoma 7. Si consiglia il colloquio con il genetista.

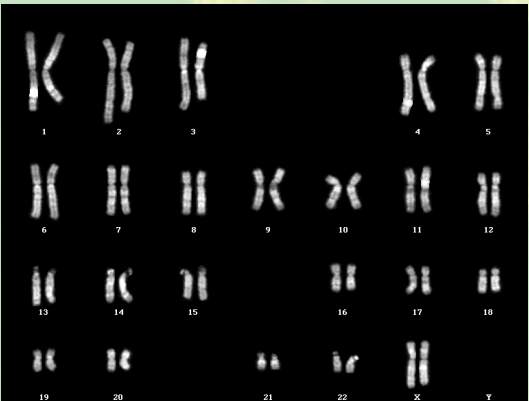
46,X,+mar (25%)



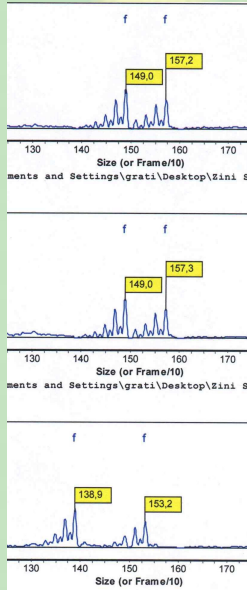
45,X (7%)



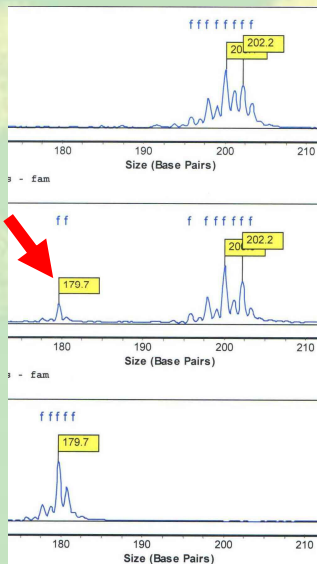
46,XX (68%)



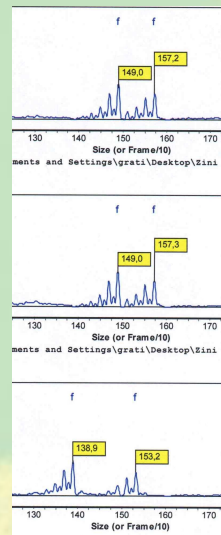
D7S640



D7S801



D7S636

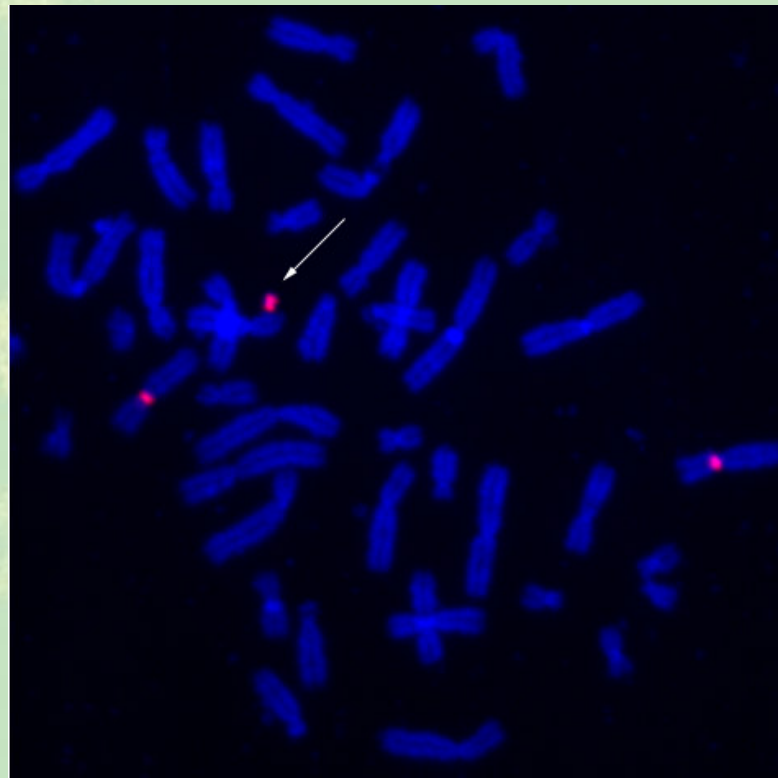


LOCI POLIMORFICI ANALIZZATI	ALLELI			RISULTATO
	MADRE	FGLIA	PADRE	
D7S3069	1.1	1.1	2.3	UPD MAT
D7S801	2.3	(1).2.3	1.1	ETERO UPD MAT+ LINEA TRISOMICA CON CR7 PAT
D7S663	1.2	1.2	1.3	ESCLUSIONE UPD PAT
D7S480	1.3	1.3	2.4	ETERO UPD MAT
D7S640	1.4	1.4	2.3	ETERO UPD MAT
D7S636	2.4	2.4	1.3	ETERO UPD MAT
D7S483	1.2	1.2	2.2	ESCLUSIONE UPD PAT
NOS3	1.2	1.2	1.3	ESCLUSIONE UPD PAT

**Risultato:** L'analisi di segregazione allelica di 8 marcatori polimorfici localizzati lungo il cromosoma 7 ha evidenziato nella probanda una eterodisomia pura di entrambi i bracci; a livello del centromero (D7S801) è presente una condizione di mosaicismo tra la linea cellulare con eterodisomia materna e quella con la trisomia.

Il risultato ottenuto indica che è avvenuto un errore di non-disgiunzione alla meiosi I materna con la formazione di uno zigote trisomico per il cromosoma 7. Successivamente è avvenuta una ricombinazione mitotica con la perdita di entrambi i bracci dell'omologo di origine paterna; tale evento ha generato una condizione di UPD materna a livello di queste sequenze e mosaicismo per le regioni centromeriche.

MATERIALE:	sangue periferico
METODO:	IBRIDAZIONE IN SITU A FLUORESCENZA
SONDA UTILIZZATA:	Sonda alfa satellite specifica per i centromeri dei cromosomi X/Y. Sonda alfa satellite specifica per il centromero del cromosoma 7.
COMMENTO:	L'applicazione della tecnica FISH con l'utilizzo delle sonde sopra indicate, ha permesso di caratterizzare il marcatore come un derivativo del cromosoma 7 (vedere foto allegata: la freccia indica il cromosoma marcatore). Si consiglia il colloquio con il genetista.



Prot.: BM 14515

Analisi: FISH eseguita con sonda alfa satellite specifica per il centromero del cromosoma 7.